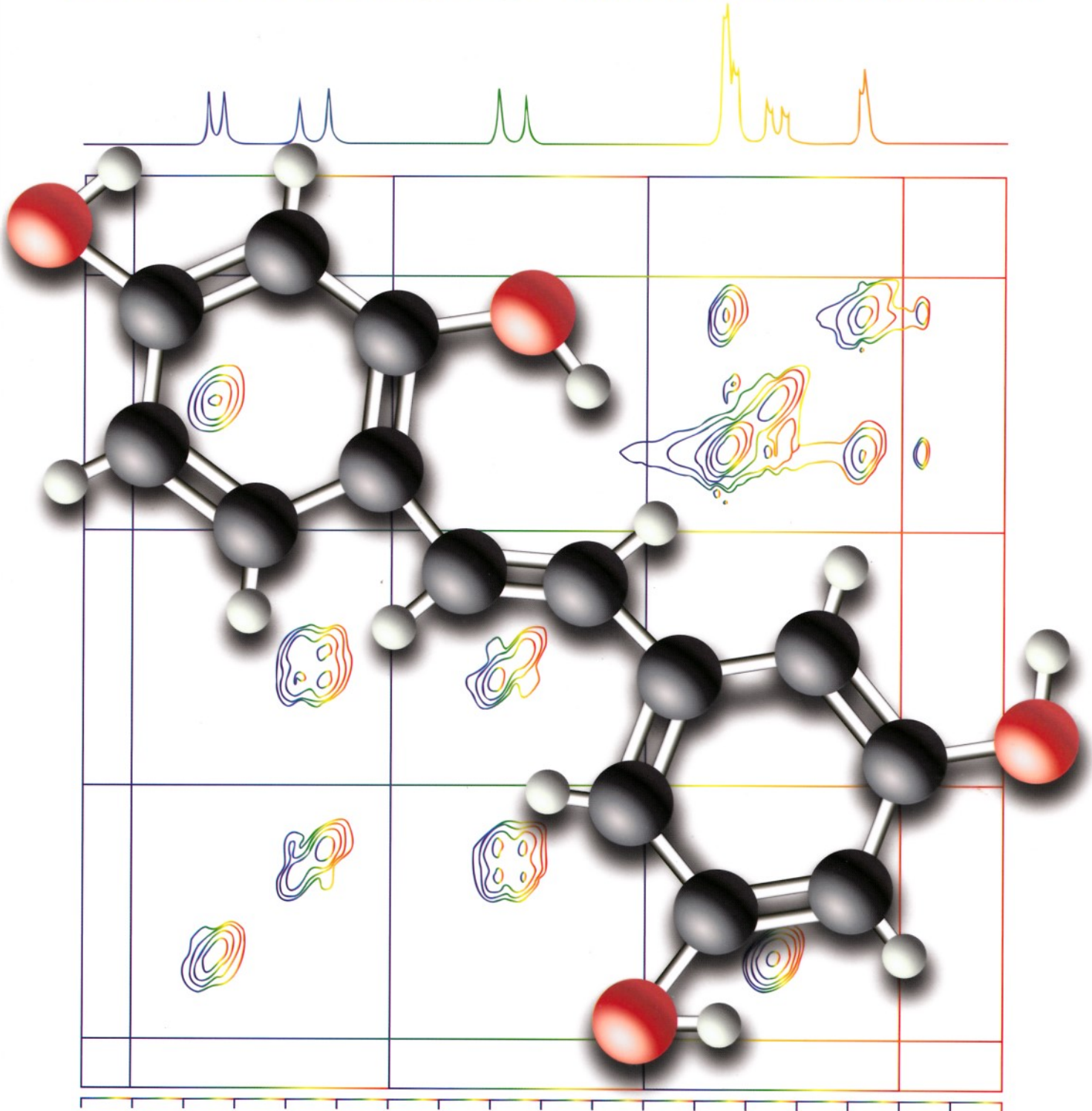


นิวเคลียร์ แมกเนติก เรโซแนนซ์

: ทฤษฎีและการประยุกต์ใช้
ในเคมีผลิตภัณฑ์ธรรมชาติ



กิตติศักดิ์ ลิขิตวิทยาวัฒน์

สารบัญ

	หน้า
บทที่ 1 หลักการเบื้องต้น	1
1.1 แนวคิดพื้นฐาน	2
1.2 คุณสมบัติสปินของนิวเคลียส	2
1.3 ปฏิสัมพันธ์ระหว่างนิวเคลียสกับสนามแม่เหล็กภายนอก	5
1.4 การหมุนควงของนิวเคลียสเมื่ออยู่ในสนามแม่เหล็กภายนอก	6
1.5 การเหนี่ยวนำให้เกิดเรโซแนนซ์	8
1.6 โครงภาพหมุนและโครงภาพปฏิบัติการ	10
1.7 ผลของสนามแม่เหล็ก B_1 ที่ปรากฏในโครงภาพหมุน	11
1.8 การบันทึกสัญญาณจากแมกเนไทเซชันเพื่อวัดค่าความถี่ลาร์เมอร์	12
1.9 หลักการเบื้องต้นของเครื่อง NMR	15
1.9.1 เครื่อง NMR แบบคลื่นต่อเนื่อง (CW NMR)	16
1.9.2 เครื่อง NMR แบบพัลส์ (Pulse NMR)	18
1.10 การวัดค่าความถี่ของคลื่น FID	19
1.11 เฟสของพัลส์และเฟสของตัวรับสัญญาณ	20
1.12 ข้อมูลที่ได้จากสเปกตรัม NMR	21
บทที่ 2 หลักการทำงานของเครื่อง NMR	25
2.1 การสร้างสนามแม่เหล็ก B_0	25
2.2 การสร้างและส่งสนามเหล็ก B_1	27
2.2.1 โพรบ (Probe)	27
2.2.2 การสร้างสนามแม่เหล็ก B_1	28
2.2.3 ขอบเขตความถี่ของคลื่น B_x และสนามแม่เหล็ก B_1	29
2.3 การเก็บบันทึกและจัดเก็บสัญญาณ FID	30
2.3.1 การขยายขนาดสัญญาณ FID	30
2.3.2 การปรับลดความถี่ของ FID	30
2.3.3 การตรวจวัดแบบควอดราเจอร์ (Quadrature Detection)	30
2.3.4 ผลของการผสมคลื่น FID กับคลื่นความถี่อ้างอิง	34
2.3.5 เฟสไซคลิง (Phase Cycling)	35
2.3.6 วิธีบันทึก FID แบบ TPPI	37
2.4 การแปลงข้อมูลอนาล็อกให้เป็นข้อมูลดิจิทัล	38
2.4.1 ทฤษฎีบทไนควิสต์ (Nyquist Theorem)	38
2.4.2 ความละเอียดเชิงดิจิทัล	40
2.5 การประมวล แปลงข้อมูลและแสดงผล	41
2.5.1 โฟริเออร์ทรานส์ฟอร์ม (Fourier Transform)	42
2.5.2 เฟสของพีคในสเปกตรัม	45
2.5.3 การจัดการข้อมูลก่อนทำ FT	47
บทที่ 3 การคลายตัวของนิวเคลียส (Nuclear Relaxation)	51
3.1 การคลายตัวของนิวเคลียสกับแมกเนไทเซชัน	52
3.2 การคลายตัวในแนวตั้ง (Longitudinal Relaxation)	52
3.2.1 วิธีวัดอัตราการคลายตัวในแนวตั้ง	53
3.3 การคลายตัวในแนวนอน (Transverse Relaxation)	56
3.3.1 วิธีวัดอัตราการคลายตัวในแนวนอน	58

	หน้า	
3.4	กลไกการคลายตัวของนิวเคลียส	60
3.5	ปฏิสัมพันธ์แบบไดโพลาร์ (Dipolar Interaction)	63
บทที่ 4	สปินเอคโค (Spin-echo)	71
4.1	ชุดลำดับพัลส์ในสปินเอคโค	71
4.2	สปินเอคโคในการขจัดผล(เสีย)จากความไม่สม่ำเสมอของสนามแม่เหล็ก B_0	73
4.3	การใช้สปินเอคโคในการหาค่าคงที่เวลาการคลายตัวในแนวนอน	74
4.4	อีโวลูชันของโคเฮียเรนซ์ (Coherence Evolution)	77
4.4.1	อีโวลูชันโดยเคมีคัลชิฟท์ (Chemical Shift Evolution)	77
4.4.2	อีโวลูชันโดยคัพปลิงแบบสเกลาร์ (Scalar Coupling Evolution)	78
4.5	ผลของสปินเอคโคต่ออีโวลูชันของโคเฮียเรนซ์	79
4.5.1	ผลของสปินเอคโคต่ออีโวลูชันโดยเคมีคัลชิฟท์	79
4.5.2	ผลของสปินเอคโคต่ออีโวลูชันโดยคัพปลิงแบบสเกลาร์	80
4.5.3	สรุปผลของพัลส์ 180°	88
4.6	การวิเคราะห์สปินเอคโคโดยวิธี POF	89
4.6.1	ผลของสปินเอคโคต่ออีโวลูชันโดยเคมีคัลชิฟท์	89
4.6.2	ผลของสปินเอคโคต่ออีโวลูชันโดยคัพปลิงแบบสเกลาร์	90
บทที่ 5	การถ่ายเทพอยูเลชันและการถ่ายเทโพลาไรเซชัน (Population Transfer and Polarization Transfer)	93
5.1	พอยูเลชันและโพลาไรเซชัน	93
5.2	การถ่ายเทพอยูเลชัน และการถ่ายเทโพลาไรเซชัน	94
5.3	การถ่ายเทโพลาไรเซชันระหว่างนิวเคลียสชนิดเดียวกัน	95
5.3.1	การทำให้พอยูเลชันอิมพัลส์	97
5.3.2	การพลิกพอยูเลชัน	97
5.4	การถ่ายเทโพลาไรเซชันระหว่างนิวเคลียสต่างชนิด	98
5.4.1	การทำให้พอยูเลชันอิมพัลส์	98
5.4.2	การพลิกพอยูเลชัน	98
5.5	การใช้ประโยชน์จากการถ่ายเทโพลาไรเซชันระหว่างนิวเคลียสต่างชนิด	99
5.5.1	การถ่ายเทโพลาไรเซชันโดยการพลิกโพลาไรเซชันแบบจำเพาะด้วยพัลส์อ่อน	100
5.5.2	การถ่ายเทโพลาไรเซชันโดยการพลิกโพลาไรเซชันแบบไม่จำเพาะด้วยพัลส์แรง	101
5.6	การเพิ่มขนาดของพีคของนิวเคลียสที่ไม่่องไวโดยการถ่ายเทโพลาไรเซชัน (INEPT)	102
5.6.1	การอธิบาย INEPT โดยวิธี POF	106
5.6.2	เทคนิค INEPT แบบรีโฟกัส (Refocused INEPT)	106
5.6.3	การขยายแนวคิด Refocused INEPT เพื่อนำไปใช้ประโยชน์	108
5.7	การเพิ่มขนาดของพีคโดยไม่บิดเบือนด้วยการถ่ายเทโพลาไรเซชัน (DEPT)	111
5.8	Inverse INEPT (Reverse INEPT)	117
บทที่ 6	ผลนิวเคลียร์โอเวอร์เฮาเซอร์ (Nuclear Overhauser Effect)	119
6.1	การคลายตัวของนิวเคลียสแบบข้าม (Nuclear Cross Relaxation)	120
6.2	ความสัมพันธ์ระหว่างการคลายตัวแบบข้ามกับผลนิวเคลียร์โอเวอร์เฮาเซอร์	124
6.3	ความสัมพันธ์ระหว่างอัตราการคลายตัวและขนาดของ nOe	126
6.4	ความสัมพันธ์ระหว่างอัตราเร็วในการหมุนตัวของโมเลกุลกับ nOe	127
6.5	ความสัมพันธ์ระหว่างระยะห่างระหว่างนิวเคลียสในโมเลกุล และ nOe	135
6.6	ผลนิวเคลียร์โอเวอร์เฮาเซอร์โดยอ้อม (Indirect nOe)	138
6.7	เทคนิคปฏิบัติการหาผลต่าง nOe สถานะคงตัว (Steady State nOe)	140
6.8	เทคนิคการวัดผลต่าง nOe ชั่วขณะ (Transient nOe)	142

สารบัญ

	หน้า
บทที่ 7 โปรดักต์ออปอเรเตอร์ฟอร์มอลิสม (Product Operator Formalism, POF)	149
7.1 ความหมายของแมกเนไทเซชันและโคเฮียเรนซ์	150
7.2 การถอดแบบจำลองเวกเตอร์ให้เป็นออปอเรเตอร์	152
7.3 ผลของพัลส์ที่มีต่อออปอเรเตอร์และโปรดักต์ออปอเรเตอร์	156
7.4 อีโวลูชันของออปอเรเตอร์ในระบบสปินเดี่ยว	157
7.5 อีโวลูชันของออปอเรเตอร์ในระบบระบบสองสปิน	159
7.5.1 อีโวลูชันโดยเคมีคัลชิฟท์ของระบบสองสปิน	160
7.5.2 อีโวลูชันโดยคัพปลิงแบบสเกลาร์ของระบบสองสปิน	162
7.5.3 อีโวลูชันโดยเคมีคัลชิฟท์และคัพปลิงแบบสเกลาร์ของระบบสองสปิน	165
7.6 อีโวลูชันของออปอเรเตอร์ของโคเฮียเรนซ์ควอนตัมซ้อนในระบบสองสปิน	167
7.6.1 ออปอเรเตอร์แบบสเฟอริคัล	168
7.6.2 การวิเคราะห์อีโวลูชันโดยเคมีคัลชิฟท์ของ MQC	170
บทที่ 8 การแปลสเปกตรัม ¹H NMR	175
8.1 เคมีคัลชิฟท์ (Chemical Shift)	176
8.2 อินทิกรัล (Integral)	179
8.3 เคมีคัลชิฟท์ของโปรตอนที่เกี่ยวข้องกับคาร์บอน	179
8.3.1 ความสามารถในการดึงอิเล็กตรอนของอะตอมใกล้เคียง	179
8.3.2 ไฮบริดเซชันของคาร์บอนที่โปรตอนเกาะอยู่	180
8.3.3 แมกเนติกแอนไอโซโทรปี (Magnetic Anisotropy)	181
8.3.4 การเคลื่อนไหลของอิเล็กตรอน (Electron Delocalization)	184
8.4 คัพปลิงแบบสเกลาร์ (Scalar Coupling)	184
8.4.1 คัพปลิงแบบ vicinal (Vicinal Coupling)	185
8.4.2 คัพปลิงแบบ geminal (Geminal Coupling)	192
8.4.3 คัพปลิงระยะไกล (Long-range Coupling)	193
8.4.4 คัพปลิงในโครงสร้างอะโรมาติก (Aromatic Coupling)	194
8.5 ทฤษฎีอธิบายกลไกการเกิดคัพปลิงแบบสเกลาร์	195
8.5.1 สปินของนิวเคลียสและอิเล็กตรอน	195
8.5.2 เครื่องหมายค่าคงที่คัพปลิง	196
8.5.3 กลไกคัพปลิง 1 พันธะ	198
8.5.4 กลไกคัพปลิงผ่าน 2 พันธะ	199
8.5.5 กลไกคัพปลิงผ่าน 3 พันธะ	201
8.5.6 กลไกคัพปลิงระยะไกล	203
8.6 ความเท่ากันทางเคมีและความเท่ากันทางแม่เหล็ก (Chemical and Magnetic Equivalence)	205
8.6.1 ความเท่ากันทางเคมี (Chemical Equivalence)	205
8.6.2 ความเท่ากันทางแม่เหล็ก (Magnetic Equivalence)	206
8.7 การคำนวณค่าเคมีคัลชิฟท์ของโปรตอนที่เกี่ยวข้องกับคาร์บอน	207
8.7.1 โปรตอนในหมู่เมทิลีน (Methylenes)	207
8.7.1 โปรตอนในโครงสร้างโอลิฟิน (Olefins)	208
8.7.1 โปรตอนในโครงสร้างอะโรมาติก (Aromatics)	209
8.8 เคมีคัลชิฟท์และคัพปลิงของโปรตอนที่เกี่ยวข้องกับอะตอมที่ไม่ใช่คาร์บอน	211
8.8.1 โปรตอนที่เกี่ยวข้องกับออกซิเจน	211

	หน้า
8.8.2 โปรตอนที่เกี่ยวข้องกับไนโตรเจน	215
บทที่ 9 หลักการเบื้องต้นและการแปลสเปกตรัม ^{13}C NMR	219
9.1 สเปกตรัม ^{13}C NMR แบบต่างๆ	220
9.1.1 สเปกตรัม ^{13}C NMR ซึ่งแสดงคัพปลิงระหว่าง ^{13}C กับ ^1H	220
9.1.2 สเปกตรัม ^{13}C NMR ซึ่งขจัดคัพปลิงระหว่าง ^{13}C กับ ^1H ทั้งหมด	221
9.1.3 สเปกตรัม ^{13}C NMR ซึ่งขจัดคัพปลิงระหว่าง ^{13}C กับ ^1H บางส่วน	222
9.1.4 สเปกตรัมตรวจสอบโปรตอนที่เกี่ยวข้องกับคาร์บอน	222
9.1.5 สเปกตรัมซึ่งมีพีคสูงขึ้นและไม่บิดเบือนด้วยการถ่ายเทโพลาริเซชัน	223
9.2 ค่าเคมีคัลชิฟท์	224
9.2.1 กลุ่มสารแอลเคน (Alkanes)	225
9.2.2 กลุ่มสารแอลคีน (Alkenes)	229
9.2.3 กลุ่มสารแอลไคน์ (Alkynes)	230
9.2.4 กลุ่มสารอะโรมาติก (Aromatics)	230
9.2.5 กลุ่มสารแอลกอฮอล์ (Alcohols)	232
9.2.6 กลุ่มสารอีเทอร์ (Ethers) แอซีทัล (Acetals) และ อีพอกไซด์ (Epoxides)	233
9.2.7 กลุ่มสารเอมีน (Amines)	233
9.2.8 กลุ่มไทออล (Thiols) ซัลไฟด์ (Sulfides) และ ไดซัลไฟด์ (Disulfides)	234
9.2.9 กลุ่มสารฮาไลด์ (Halides)	235
9.2.10 กลุ่มสารที่หมู่คาร์บอนิล (Carbonyls)	236
9.3 ค่าคงที่คัพปลิงระหว่าง ^{13}C กับ ^1H	238
9.3.1 ^{13}C กับ ^1H ที่เชื่อมโยงด้วยพันธะ 1 พันธะ	238
9.3.2 ^{13}C กับ ^1H ที่เชื่อมโยงด้วยพันธะ 2 พันธะ	239
9.3.3 ^{13}C กับ ^1H ที่เชื่อมโยงด้วยพันธะ 3 พันธะ	239
บทที่ 10 เทคนิค NMR แบบสองมิติ	243
10.1 หลักการเบื้องต้น	243
10.2 Heteronuclear Correlation (HETCOR)	246
10.2.1 2D <i>J</i> -resolved NMR	246
10.2.2 การพัฒนาแนวคิดเข้าสู่ HETCOR	250
10.2.3 ชุดลำดับพัลส์ของ HETCOR	254
10.2.4 การวิเคราะห์ชุดลำดับพัลส์ HETCOR โดยวิธี POF	257
10.2.5 ตัวอย่างสเปกตรัม HETCOR	258
10.3 Correlation Spectroscopy via Long Range Coupling (COLOC)	260
10.3.1 ชุดลำดับพัลส์ของ COLOC	260
10.3.2 การวิเคราะห์ COLOC โดยวิธี POF	261
10.3.3 ตัวอย่างสเปกตรัม COLOC	262
10.4 Heteronuclear Correlation through Inverse Detection	264
10.4.1 Heteronuclear Single Quantum Coherence (HSQC)	264
10.4.2 Heteronuclear Multiple Quantum Coherence (HMQC)	275
10.4.3 Heteronuclear Multiple-Bond Correlation (HMBC)	283
10.5 Homonuclear (^1H , ^1H) Correlation Spectroscopy (COSY)	288
10.5.1 การวิเคราะห์ COSY โดยวิธี POF	293
10.5.2 ตัวอย่างสเปกตรัม COSY	296
10.5.3 Double-Quantum Filtered COSY (DQF-COSY)	298

สารบัญ

	หน้า
10.5.4 การสร้างความชันสนามแม่เหล็กด้วยพัลส์ (Pulsed Field Gradient)	303
10.6 Total Correlation Spectroscopy (TOCSY)	310
10.6.1 ผลของสปินล็อกต่อแมกเนไทเซชันที่ไม่อยู่บนแกนล็อก	313
10.6.2 ผลของสปินล็อกต่อแมกเนไทเซชันที่อยู่บนแกนล็อก	313
10.6.3 วิธีการทำสปินล็อก	314
10.6.4 การอธิบาย TOCSY ด้วยวิธี POF	315
10.7 Nuclear Overhauser Effect Spectroscopy (NOESY)	318
10.7.1 ชุดลำดับพัลส์และแบบจำลองเวกเตอร์ของ NOESY	318
10.7.2 ตัวอย่างสเปกตรัม NOESY	320
10.7.3 การวิเคราะห์ NOESY โดยวิธี POF	320
10.8 Rotating-frame Overhauser Effect Spectroscopy (ROESY)	323
10.9 Exchange Spectroscopy (EXSY)	326
บทที่ 11 การศึกษาโครงสร้างสารธรรมชาติ	329
11.1 กลุ่มสารแอลคาลอยด์ (Alkaloids)	331
11.1.1 กลุ่ม Isoquinoline Alkaloids	331
11.1.2 กลุ่ม Indole Alkaloids	345
11.1.3 กลุ่ม Bisamide Alkaloids	349
11.2 กลุ่มสาร Flavonoids	350
11.2.1 กลุ่ม Flavones and Flavanols	350
11.2.2 กลุ่ม Isoflavones	355
11.2.3 กลุ่ม Flavanones	356
11.2.4 กลุ่ม Chalcones และ Dihydrochalcones	357
11.3 กลุ่มสาร Xanthones	359
11.4 กลุ่มสาร Coumarins	362
11.5 กลุ่มสาร Stilbenes	364
11.6 กลุ่มสาร Lignans และ Neolignans	367
11.6.1 กลุ่ม Furofurans	367
11.6.2 กลุ่ม Tetrahydrofurans	369
11.6.3 กลุ่ม 7,7'-epoxylignans	370
11.6.4 กลุ่ม 7,9'-epoxylignans	372
11.6.5 กลุ่ม Dibenzylbutanes	373
11.6.6 กลุ่ม Dibenzylbutyrolactones	374
11.6.7 กลุ่ม Aryltetrahydronaphthalenes	375
11.6.8 กลุ่ม Benzofurans	376
11.6.9 กลุ่ม Alkyl Aryl Ethers	377
11.6.10 กลุ่ม Benzodioxanes	377
11.7 กลุ่มสาร Naphthoquinones	379
11.8 กลุ่มสาร Anthraquinones	380
11.9 กลุ่มสาร Terpenes	382
11.9.1 กลุ่ม Monoterpenes	382
11.9.2 กลุ่ม Sesquiterpenes	383

	หน้า
11.9.3 กลุ่ม Diterpenes	383
11.9.4 กลุ่ม Triterpenes	385
11.10 กลุ่มสาร Steroids	389
ไจยต์ฝักหัด	393
ภาคผนวก	447
กลศาสตร์ควอนตัมเบื้องต้นใน NMR (Quantum Mechanics)	449
ดัชนี	464
อธิบายคำย่อ	472

	หน้า
11.9.3 กลุ่ม Diterpenes	383
11.9.4 กลุ่ม Triterpenes	385
11.10 กลุ่มสาร Steroids	389
ไจยฝักหัด	393
ภาคผนวก	447
กลศาสตร์ควอนตัมเบื้องต้นใน NMR (Quantum Mechanics)	449
ดัชนี	464
อธิบายคำย่อ	472

นิวเคลียร์แมกเนติกเรโซแนนซ์

: ทฤษฎีและการประยุกต์ใช้ในเคมีผลิตภัณฑ์ธรรมชาติ

“เป็นหนังสือที่เหมาะสมสำหรับผู้สนใจศึกษา NMR spectroscopy ทั้งในระดับปริญญาตรี และระดับบัณฑิตศึกษา เนื้อหาในส่วนที่เป็นทฤษฎี เป็นการบรรยาย มีแบบจำลองเวกเตอร์ประกอบ บางตอนใช้คณิตศาสตร์เบื้องต้น และวิธี Product Operator Formalism (POF) ช่วยอธิบาย หลักเลี้ยว การใช้คณิตศาสตร์ขั้นสูง จึงทำให้เนื้อหาส่วนนี้เข้าใจง่าย สำหรับผู้อ่านที่มีพื้นฐานเคมีอินทรีย์เบื้องต้น ในส่วนเนื้อหาที่เกี่ยวข้องกับการประยุกต์ใช้ในเคมีผลิตภัณฑ์ธรรมชาติ นั้น ได้แบ่งออกเป็นหมวดหมู่ ตามกลุ่มสารทุติยภูมิ มีตัวอย่างสเปกตรัม NMR ทั้งแบบมิติเดียวและสองมิติประกอบคำอธิบาย มีโจทย์ฝึกหัด การอ่านแปลผลสเปกตรัม เหมาะสำหรับผู้ที่มิประสบการณการอ่านสเปกตรัม NMR มาบ้างแล้ว”



▲ **ศาสตราจารย์ ดร.กิติศักดิ์ ลิขิตวิทยาวุฒิ** สำเร็จการศึกษาเภสัชศาสตรบัณฑิต (เกียรตินิยมอันดับ 1) เริ่มทำงานในตำแหน่งอาจารย์ประจำคณะเภสัชศาสตร์ จุฬาลงกรณ์มหาวิทยาลัย ใน พ.ศ. 2524 ต่อมาได้เดินทางไปศึกษาต่อด้วยทุนรัฐบาลญี่ปุ่น (Monbusho) จนสำเร็จการศึกษาในระดับปริญญาโทในสาขาวิชา Natural Products Chemistry จาก Chiba University ในพ.ศ. 2529 โดยมี Professor Dr. Shin-Ichiro Sakai และ Professor Dr. Norio Aimi เป็นอาจารย์ที่ปรึกษา หลังจากกลับมาปฏิบัติราชการได้ระยะหนึ่ง ได้เดินทางไปศึกษาต่อในระดับปริญญาเอกที่ University of Illinois at Chicago (UIC) สหรัฐอเมริกา ในสาขาวิชา Pharmacognosy โดยทำหน้าที่เป็นผู้ช่วยสอน (Teaching assistant) ในการกำกับของ Professor Dr. Ludwig Bauer และผู้ช่วยวิจัย (Research assistant) ภายใต้การดูแลของ Professor Dr. Geoffrey A. Cordell จนสำเร็จการศึกษาใน พ.ศ. 2535 โดยได้รับรางวัล Dean's Scholar Award จาก UIC Graduate School ด้วยผลการเรียนยอดเยี่ยม คะแนนเฉลี่ยสะสม 5.0/5.0 และได้รับเชิญเข้าเป็นสมาชิกของ The Honor Society of Phi Kappa Phi U.S.A. ได้รับพระบรมราชโองการโปรดเกล้าฯ ให้ดำรงตำแหน่งศาสตราจารย์ในสาขาวิชาเภสัชเวท คณะเภสัชศาสตร์ จุฬาลงกรณ์มหาวิทยาลัย ตั้งแต่วันที่ 12 ธันวาคม 2551

**นิวเคลียร์
แมกเนติกเรโซแนนซ์**
ISBN 978-616-594-328-4

9 786165 943284
ราคา 450 บาท